

## Tvíúid Rafsindakerfi

Greinar um tvíúidkerfi

Inngangur

Astand þéttkerfi

Línuleg skýling

Plasma bylgjur

Segulsúid

Ólínuleg skýling

Leiðni

Hall kníf

## Greinar um 2DEG

yfirlit:

Electronic properties of  
two-dimensional systems

T. Ando et. al. Rev. Mod. Phys. 54 1982

Nobel lectures in Physics 1985

K. v. Klitzing Rev. Mod. Phys. 58 1986

Electronic surface states of  
liquid helium

M. W. Cole Rev. Mod. Phys. 46 1974

The Quantum Hall effect

Ed. R. F. Prange og S. M. Girvin

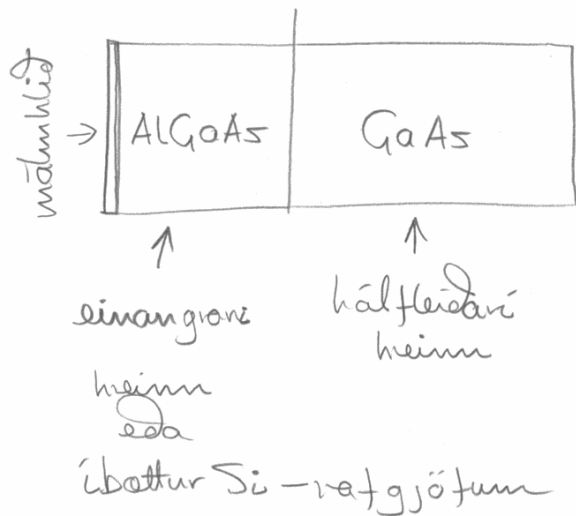
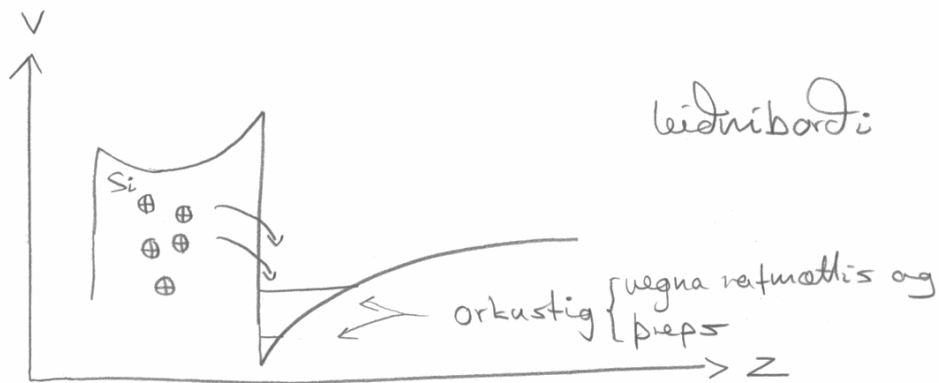
Springer-Verlag 1987

# Tvívið rafleiðakerfi Imgangur (1)

## Finnast

á yfirborði He vökva  
við samsteyti hálfleiðara

## tökum GaAs sem dæmi



# Hvers vegna er kerfið tvívítt (2)

Þykkt kerfisins  $10 - 100 \text{ \AA} \sim d$

↑  
útreiknuð frá  $N_A, K, n_s$   
 $n_s \sim 10^{10} - 10^{12} \text{ cm}^{-2}$

Fermi bylgju lengdin er:

$$\lambda_F = \frac{2\pi}{k_F} \sim 355 \left( \frac{10^{12} \text{ cm}^{-2}}{n_s} \right) \text{ \AA}$$

→  $\lambda_F \gg d$

fyrir  $n_s < 10^{12} \text{ cm}^{-2}$  er líka  
aðeins lágsti orkuborðinn setinn

Rafleiðingar geta hreyft frjálst  
í x og y áttirnar

(3)

þar þó auk þýna kerfin ýmsa  
eiginleita 2D-kerfa í tilraunum  
→ sjáum síðar

### Hversvegna eru kerfin mitalveg

\* Tæknilegt mitalvegi

\*  $n_s$  er breytilegt

Flestir eiginleitar 2DEG reiknadir með  
skammtasviðs fræði: fást sem „veldis“ ríð  
í stíkinum  $r_s = \frac{r_0}{a_0}$  — Bohr radius

$$r_0 = \sqrt{\frac{1}{\pi n_s}}$$

$n_s$  er högt að breyta um stóðargráður

→  $r_0$

Högt að reyna ríðurstöður og  
nákvæmi þeirra betur en í 3D

**I 3D er  $n_s$  fasti**

(4)

t.d. er högt að breyta samfelld  
 $n_s$  þa. kerfið fari úr  
klassisku ástandi yfir í  
skammta ástand

Sjáum

$$\langle v \rangle = \frac{e^2}{\kappa \epsilon_0} = \frac{e^2}{\kappa} \sqrt{\pi n_s}$$

$$\text{því } n_s = \frac{1}{\pi r_0^2}$$

$$\langle E_{kin} \rangle = \langle E_{kin} \rangle_q + \langle E_{kin} \rangle_{cl}$$

$$= \frac{\hbar^2 k_F^2}{2m^*} + k_B T$$

$$\uparrow$$
$$\frac{\pi n_s \hbar^2}{m^*}$$

$$\text{því } k_F^2 = 2\pi n_s$$

$$\langle E_{kin} \rangle_q \approx n_s \frac{m_0}{m^*} 1,2 \cdot 10^{-15} \text{ eV cm}^2$$

$$\langle E_{kin} \rangle_{cl} \approx T \cdot 8,6 \cdot 10^{-5} \text{ eV/K}$$

$$\langle v \rangle \approx \frac{\sqrt{n_s}}{\kappa} 2,6 \cdot 10^{-7} \text{ eV cm}$$

Rafteinda grund  
kristöllum 2DEG (Wigner 1932)

at  $T \rightarrow 0$

$$\Pi = \frac{\langle V \rangle}{\langle E_{kin} \rangle} = \frac{\frac{e^2}{k} \sqrt{\pi n_s}}{\frac{\pi n_s \hbar^2}{m^*}}$$

→  $\Pi$  vex þegar  $n_s$  minnkar

þegar  $\langle V \rangle \gg \langle E_{kin} \rangle$   
geta rafteindirnar kristallost!

segulsvid getur hjálpað til eins  
og sést síðar

leitir að kristöllum í segulsvidi  
leiddi til brot-skammta Hallhrifanna

'Astandspett beiti  
2DEG

$$\frac{dn}{dE} = D(E) = 2g_v \frac{1}{(2\pi)^2} 2\pi k \frac{dk}{dE}$$

spuni

deis margfeldni

þett beiti punkta í 2 tvidra  
k-rúminu

ummal hings í k-rúminu

Ef ekkert segulsvid  $B=0$

$$E = E_0 + \frac{\hbar^2 k^2}{2m}$$

Fasti

$$\rightarrow D(E) = \frac{g_v m}{\pi \hbar^2}, \quad E > E_0$$
  
$$= 0, \quad E < E_0$$

$$R_F = (2\pi n_s / g_v)^{1/2}$$

# Skjalning i 2D (línuþeg (Thomas Fermi))

(1)

Rofeindur í planinu  $z=0$

$$\Rightarrow \rho(\vec{r}) = \rho(x, y) \delta(z) \text{ hleðsluþéttleiki}$$

$$\phi(\vec{r}) = \int d\vec{r}' \frac{\rho(x', y') \delta(z')}{\kappa |\vec{r} - \vec{r}'|}$$

frankvæma  $z$  heitid og kalla

$$V(\vec{r}) = V(x, y) = -e\phi(x, y, 0) = -e\phi(\vec{x})$$

þá fest

$$V(\vec{r}) = -\frac{e}{\kappa} \int d\vec{r}' \frac{\rho(\vec{r}')}{|\vec{r} - \vec{r}'|}$$

Nota Fourier földunar regluna  
þá fest:

$$V(\vec{k}) = -\frac{2\pi e}{\kappa |\vec{k}|} \rho(\vec{k})$$

földun segir:

$$F(x) = \int G(x-y) g(y) dy$$

þá sé

$$F(q) = 2\pi G(q) g(q)$$

(2)

Nú er hleðsluþéttleikinn:

$$\rho(\vec{r}) = e \left\{ \underbrace{\bar{n}_b + \delta n_{\text{ext}}(\vec{r})}_{\text{jákvæður bakgrunnur}} - \underbrace{e n_s(\vec{r})}_{\text{rofeindur}} \right\}$$

$\delta n_{\text{ext}}(\vec{r})$  er einhver aukahlæðsla  $\oplus$   
í kerfinu sem veldur mottinu:

$$V_{\text{ext}}(\vec{k}) = -\frac{2\pi e^2}{\kappa |\vec{k}|} \delta n_{\text{ext}}(\vec{k})$$

↑

breytt aðeins á löngum kvörðum

$$|\vec{\nabla} V| \frac{1}{R_F} \ll \mu \leftarrow \text{spennottli}$$

Fermi vektor

(3)

þá má skrifa orku tvístunnina sem

$$E(\tilde{k}) = \frac{\hbar^2 k^2}{2m} + V(r)$$

og þess vegna

$$n_s(r) = \int dE D(E) f(E + V(r) - \mu)$$

↑  
ástandsþéttleikinn

línuþeg nálgun með tilliti til  $V(r)$ !

nota

$$\begin{aligned} f(E + V - \mu) &= f(E - \mu) + V \frac{\partial}{\partial E} f(E - \mu) \\ &= f(E - \mu) - V \frac{\partial}{\partial \mu} f(E - \mu) \end{aligned}$$

$$\rightarrow n_s(r) = \bar{n}_s - V(r) \frac{\partial \bar{n}_s}{\partial \mu}$$

$$= \bar{n}_s - V(r) D_T$$

↑  
varmafræðilegi ástandsþéttleikinn

(4)

Heildar mottlid var

$$V(\tilde{k}) = - \frac{2\pi e}{k|\tilde{k}|} \rho(\tilde{k})$$

og

$$\rho(r) = e \left\{ \bar{n}_b + \delta n_{\text{ext}}(r) \right\} - e n_s(r)$$

sem nú má skrifa sem: ( $\bar{n}_b = \bar{n}_s$ )

$$\rho(r) = e \delta n_{\text{ext}}(r) + e V(r) D_T$$

og þarí

$$V(\tilde{k}) = V_{\text{ext}}(\tilde{k}) - \frac{2\pi e^2}{k|\tilde{k}|} D_T V(\tilde{k})$$

$$V(k) = V_{\text{ext}}(\tilde{k}) \left\{ 1 + \frac{2\pi e^2}{k|\tilde{k}|} D_T \right\}^{-1}$$

$$= V_{\text{ext}}(\tilde{k}) / \epsilon(\tilde{k})$$

$$\rightarrow \epsilon(\tilde{k}) = 1 + \frac{Q}{|\tilde{k}|}, \quad Q = \frac{2\pi e^2}{k|\tilde{k}|} D_T$$

rafsvörumarsúðullinn við  $\omega = 0$

(5)

Hæring lítur stjórna meðhöf út fyrir punkthléðslu:

$$V_{\text{ext}}(r) = -\frac{e^2}{Kr}$$

punkthléðsla  $\rightarrow \delta n_{\text{ext}}(\tilde{\mathbf{k}}) = 1$

$$\rightarrow V_{\text{ext}}(\tilde{\mathbf{k}}) = -\frac{2\pi e^2}{k|\tilde{\mathbf{k}}|}$$

en ef punkthléðslan er fjú útán 2D-kerfið þá er: ( $z \neq 0$ )

$$V_{\text{ext}}(\tilde{\mathbf{r}}) = -\frac{e^2}{k} \frac{1}{\sqrt{\tilde{\mathbf{r}}^2 + z_0^2}}$$

finnum  $V_{\text{ext}}(\tilde{\mathbf{k}})$

$$V_{\text{ext}}(\tilde{\mathbf{k}}) = -\frac{e^2}{k} \int d\tilde{\mathbf{r}} \frac{e^{-i\tilde{\mathbf{r}} \cdot \tilde{\mathbf{k}}}}{\sqrt{\tilde{\mathbf{r}}^2 + z_0^2}}$$

$$= -\frac{e^2}{k} \int r dr d\varphi \frac{e^{-i k r \cos \varphi}}{\sqrt{r^2 + z_0^2}}$$

(6)

nota

$$J_0(kr) = \frac{1}{2\pi} \int_0^{2\pi} d\varphi e^{i k r \cos \varphi} \quad \text{Bessel}$$

því fást

$$\begin{aligned} V_{\text{ext}}(\tilde{\mathbf{k}}) &= -2\pi \frac{e^2}{k} \int r dr \frac{J_0(kr)}{\sqrt{r^2 + z_0^2}} \\ &= -2\pi \frac{e^2}{k|\tilde{\mathbf{k}}|} e^{-z_0|\tilde{\mathbf{k}}|} \end{aligned}$$

heilda meðhöf vörð þú

$$V(\tilde{\mathbf{k}}) = V_{\text{ext}}(\tilde{\mathbf{k}}) / \epsilon(\tilde{\mathbf{k}})$$

$$= -\frac{2\pi e^2}{k|\tilde{\mathbf{k}}|} \frac{1}{1 + \frac{Q}{|\tilde{\mathbf{k}}|}} e^{-z_0|\tilde{\mathbf{k}}|}$$

Svo heilda meðhöf í r-rúmi er:

$$V(\tilde{\mathbf{r}}) = \frac{1}{(2\pi)^2} \int_0^\infty k dk \int_0^{2\pi} d\varphi \frac{e^{i k r \cos \varphi}}{k + Q} \left(-\frac{2\pi e^2}{k}\right) e^{-z_0 k}$$

$$k = |\tilde{\mathbf{k}}|$$

7

ef  $Q=0$  þá fest ákveitt að aftur til baka  $V(r) = -\frac{e^2}{k} \frac{1}{\sqrt{r^2+z_0^2}}$   
 þú þá væri engin skygling.

Athugum þega  $Q \neq 0$  og  $d \neq 0$   
 $q$ -heildid lýst eins og áður:

$$\rightarrow V(r) = -\frac{e^2}{k} \int_0^\infty k dk \frac{j_0(kr)}{k+Q} e^{-z_0 k}$$

við athugum  $V(r)$  fy = mjög stórt  $r$  og  $Q$

$$k \frac{j_0(kr)}{k+Q} e^{-z_0 k} \rightarrow \frac{k}{Q} j_0(kr) e^{-z_0 k} \left\{ 1 - \frac{k}{Q} \dots \right\}$$

$$\rightarrow V(r) \approx -\frac{e^2}{kQ} \int_0^\infty k dk j_0(kr) e^{-z_0 k} \left\{ 1 - \frac{k}{Q} \right\}$$

8

$$V(r) \approx -\frac{e^2}{kQ} \left\{ \frac{1}{r^2+z_0^2} \frac{z_0}{\sqrt{z_0^2+r^2}} - \frac{1}{Q} \frac{2}{(r^2+z_0^2)^{3/2}} \left( \frac{3}{2} \frac{z_0^2}{z_0^2+r^2} - \frac{1}{2} \right) \right\}$$

$$\approx -\frac{e^2}{kQ} \frac{1}{(r^2+z_0^2)^{3/2}} \left( z_0 + \frac{1}{Q} \right)$$

$$\approx -\frac{e^2}{kr^3 Q^2} \frac{1}{\left(1 + \frac{z_0^2}{r^2}\right)^{3/2}} (z_0 Q + 1)$$

ef  $r \gg z_0$  þá fest

$$V(r) \approx -\frac{e^2}{kr^3 Q^2} (z_0 Q + 1)$$

2D

Í 3D fengist

$$V(r) \approx -\frac{e^2}{kr} e^{-Q_3D r}$$

3D

Skyglingin er þú miltu viltari  
 í 3D heldur en í 2D

↑ þegar B=0



# Athugasemdir

\* Nálgunin sem notuð var í heildinni  
 leyfir ekki  $z_0 \rightarrow 0$   
 þó að útkoman virðist leyfa það.

\* Th-nálgunin gildir aðeins fyrir  
 $\Gamma Q \gg 1$

\*  $E(k)$  reiknað hér gildir aðeins  
 fyrir  $k \ll k_F$   
 (þar sem við notuðum límbega nálgun og  
 sögðum að  $V(r)$  breytist aðeins á  
 mjög löngum skala  $\rightarrow$  Långbylgju nálgun)

Heildin er samt reiknað á bilinu  
 $[0, \infty)$

Ef rétta formid er notuð  $\epsilon(k) = E(k)$   
 sem gildir fyrir öll  $k$  fast

$$V(r) \sim -A(z_0) \frac{\sin(2k_F r)}{(2k_F r)^2}$$

Friedel sveiflur  
T=0

Þó skýtingin er jafnvel verst en  
 búist var við.

Hér er einnig ekki tekið tillit til  
 mögulegs bandins ástanda yfhamptisins  
 Sérstaklega fyrir  $z_0 \rightarrow 0$



Athugum síðar ólímbega skýtingu  
 í segulsviði



þar er  $Q$  ekki lengur fasti

Í 3D fast  $\epsilon(k)$  reiknað

$$V(r) \sim \dots \frac{\sin(2k_F r)}{(2k_F r)^3}$$

T=0

# Tíðni háð skýling

(11)

## plasma sveiflur

Ef + punkthléðslu veri allt í einu komið fyrir í 2DEG



þá koma aðvítandi til að stjla hléðslunni, þó fara yfir jafnvægis stöðu sína, vegna skriðþungans sem þó áhrifast

→ þó sveiflast um jafnvægisstöðuna

litum á þessar sveiflur í 3D og 2D til samanburðar, fyrst samkvæmt klassískum útreikningum.

# Coulomb viðvæturnar í 2D og 3D

(12)

Rafsviðið er alltaf í 3D, þó er rafmætti jafnvæðar punkthléðslu:

$$\phi(r) = \frac{e}{k r} \quad (\text{c.g.s.})$$

og við höfum séð að 2D-Fourier umformulad er

$$\phi^{2D}(q) = 2\pi \frac{e}{k q}$$

Hvernig er 3D umformulad:

$$\phi^{3D}(q) = \frac{e}{k} \int_0^\infty r^2 dr \int_0^{2\pi} d\varphi \int_{-1}^1 du \frac{e^{-iqr u - \mu r}}{r}$$

↑ tryggja samleitni

$$= 4\pi \frac{e}{k q} \int_0^\infty dr \sin(qr) e^{-\mu r}$$

$$= \frac{4\pi e}{k} \frac{1}{q^2 + \mu^2}, \quad \phi^{3D}(q) \xrightarrow{\mu \rightarrow 0} \frac{4\pi e}{k q^2}$$

# Klassiskar plasmasveitur

(13)

3D

$$\bar{n}_s = \bar{n}_b$$

rafanda kerfið örlitid tuffað:

$$n_s(\vec{x}t) = \bar{n}_s + \delta n_s(\vec{x}t)$$

htöðlu öjarmvegid lridir til rafmattis

→ rafkraftar

hteyfinga-rafma litils rümmals mä  
nälga tumbga (i nag  $\vec{v}$ )

$$m \frac{d}{dt}(n\vec{v}) = m \left\{ \frac{\partial}{\partial t}(n\vec{v}) + (\vec{v} \cdot \nabla)(n\vec{v}) \right\}$$
$$= +e\bar{n}\vec{\nabla}\phi$$

$$\rightarrow m\bar{n} \frac{\partial \vec{v}}{\partial t} \simeq +e\bar{n}\vec{\nabla}\phi$$

Samfeldni rafman

$$\frac{\partial n}{\partial t} + \vec{\nabla} \cdot (n\vec{v}) \simeq \frac{\partial \delta n}{\partial t} + \bar{n} \vec{\nabla} \cdot \vec{v} = 0$$

(14)

pri fast: (ditta samfeldni jöfnuma)

$$\frac{\partial^2}{\partial t^2} \delta n_s(\vec{x}t) = -\bar{n}_s \frac{\partial}{\partial t} \vec{\nabla} \cdot \vec{v}(\vec{x}t)$$

nota hreyfijöfnuma

$$-\bar{n}_s \frac{\partial}{\partial t} \vec{\nabla} \cdot \vec{v}(\vec{x}t) = -\frac{e\bar{n}_s}{m} \vec{\nabla} \cdot \vec{\nabla} \phi$$

Fourier um fatur:

$$-\omega^2 \delta n_s(\vec{q}\omega) = \frac{e\bar{n}_s}{m} q^2 \phi(\vec{q}, \omega)$$

$$\phi(\vec{q}\omega) = -\frac{4\pi e}{kq^2} \delta n_s(\vec{q}\omega) \quad \begin{array}{l} \text{mattid ty-} \\ \text{rafmattis} \end{array}$$

$$\rightarrow \left\{ \omega^2 - \frac{4\pi\bar{n}_s e^2}{km} \right\} \delta \bar{n}_s(\vec{q}\omega) = 0$$

$$\Rightarrow \boxed{\omega^2 = \frac{4\pi\bar{n}_s e^2}{km}} \quad \begin{array}{l} \text{tvistunna} \\ \text{samband} \end{array}$$

2D

↑ tveividd

$$n_s(\bar{x}t) = n_s(\tilde{x}t) \delta(z)$$

$$n_s(\tilde{x}t) = \bar{n}_s + \delta n_s(\tilde{x}t)$$

nota tveivdar heppi og samfeldni jöfnu

$$\rightarrow \frac{\partial^2}{\partial t^2} \delta n_s(\tilde{x}t) = - \frac{e\bar{n}_s}{m} \nabla \cdot \nabla \phi(\tilde{x}t)$$

Fourier umfarur:

$$-\omega^2 \delta n_s(\tilde{q}\omega) = \frac{e\bar{n}_s}{m} q^2 \phi(\tilde{q}\omega)$$

$$\phi(\tilde{q}\omega) = - 2\pi \frac{e}{kq} \delta n_s(\tilde{q}\omega)$$

$$\rightarrow \left\{ \omega^2 - \frac{2\pi\bar{n}_s e^2}{km} q \right\} \delta n_s(\tilde{q}\omega) = 0$$

$$\Rightarrow \boxed{\omega^2 = \frac{2\pi\bar{n}_s e^2}{km} q}$$

Í marghluta skammtafræði er eftirfarandi aðferð beitt

Við höfum séð að ytramætti veldur eftirfarandi heila mætti í rafrænda-kerfi

$$V(q\omega) = V_{ext}(q\omega) / \epsilon(q\omega)$$

þar sem  $\epsilon(q\omega)$  er tíðni og bylgjuvektors háði rafræðingur stöðull kerfisins

Ef  $\epsilon(q,\omega) \rightarrow 0$  þýðir einhver  $q\omega$  gildir, þá hefur til ytri truflun mikil áhrif á rafrænda kerfið

→ Kerfið kemst í resonans ástand við ytri truflunina

þá geta einmitt plasmabylgjur birst um kerfið án þess að dafna

hustnig er  $\epsilon(q\omega)$  reiknað?

Rafsvörnum fallid  $\epsilon(q\omega)$  er tengt  
pöllumfalli rafvinda  $\Pi(q\omega)$ :

$$\epsilon(q\omega) = \frac{1}{1 + V_0(q)\Pi^R(q\omega)}$$

þar sem  $V_0(q)$  er óskýlda vaxlorkun  
rafvinda

2D :  $V_0(q) = 2\pi \frac{e^2}{q}$

3D :  $V_0(q) = 4\pi \frac{e^2}{q^2}$

og pöllum er reiknað sem:

$$\Pi^R(r-r', t-t') = \langle [\tilde{n}_s(r,t), \tilde{n}_s(r',t')] \rangle \theta(t-t')$$



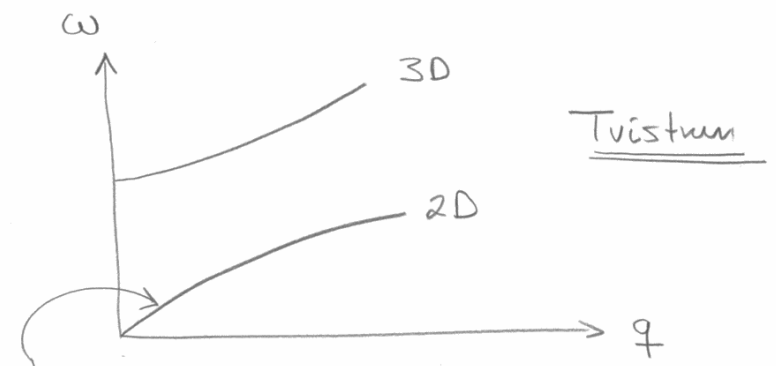
sem reiknað er eftir að þröðum  
skammta þæði margra einda

þá finnst að

$$\omega_p^2 \approx \frac{2\pi n_s e^2}{mK} q + \frac{3V_F^2}{4} q^2$$

þaríð sama við 3D

$$\omega_p^2 \approx \frac{4\pi n_s e^2}{mK} + \frac{3V_F^2}{5} q^2$$



hefur verið mælt

(Grimes og Adams Phys. Rev. Lett 36  
145 (1976) )

þessar bylgjur eru dæmi um lóngbylgjur  
vegna Coulomb virluðtunarinnar

Segulvirkur rafinda (retstraumur  
hafa segulvirkur á milli sín)  
veldur þverbylgjum.

$$3D: \omega_p^2 = \frac{4\pi n_s e^2}{mk} + \frac{v_F^2}{5} q^2 + c^2 q^2 + \dots$$

$$2D: \omega_p^2 = \frac{\pi e^2 n_s}{mk} \frac{1}{d} + c^2 q^2 + \frac{v_F^2}{4} q^2 + \dots$$

"þykk kort"  $\nearrow$



þver plasmónur eða tvístærna-  
samband göseinda í efnu

málmur vörð gegusóin í  
útjótublaun gösi

2DEG í segulsviði

Einskilt segulsvið í z-átt  $\vec{B} = B \hat{z}$

Segulsviðið er högt að leida frá vektorsviði  $\vec{A}$

Hamilton virkinn í 2D er þá

$$H = \frac{\hbar^2}{2m} (-i\vec{\nabla} + \frac{e}{c\hbar} \vec{A}(\vec{x}))^2$$

fyrir frjósarvendi í segulsviði.

Til er mismunandi kvörðar fyrir  $\vec{A}$  misheppilegir  
fyrir ólík hnitakerfi

Melistorðir eru óháðar kvörðum

litum á tvö kvörðar, sem leida til  
einfaldra lausna Schrödinge jöfnanna  
í pól og fernings hnitum, til þess að  
stíla eðli orkuröfðsins betur.

$$\vec{B} = \vec{\nabla} \times \vec{A}$$

(2)

"Landau" - kvardi

$$\vec{A}(\vec{x}) = (-By, 0, 0)$$

$$\rightarrow H = -\frac{\hbar^2}{2m} \left\{ \nabla^2 - \frac{2i}{l^2} y \partial_x - \frac{y^2}{l^4} \right\}$$

þar sem segul lengdin  $l$  er  $l^2 = \frac{\hbar c}{eB}$  lengdarstaki

$$l^2 = \frac{\hbar c}{eB}$$

giska  $\bar{a}$  lausu

$$\psi_{kn}(\vec{x}) = \frac{1}{\sqrt{L_x}} e^{ikx} \phi_{nk}(y)$$

lotubundid svæði í  $x$  átt

$$\psi(0, y) = \psi(L_x, y) \rightarrow k = \frac{2\pi}{L_x} p$$

$p \in \mathbb{Z}$

$\rightarrow$  Schrödinger jafnan

$$\left\{ -\frac{\hbar^2}{2m} \partial_y^2 + \frac{1}{2} m \omega_c^2 (y - kl^2)^2 \right\} \phi_{nk}(y) = E_{nk} \phi_{nk}(y)$$

(3)

$\rightarrow$  náttúruleg tíðni  $\omega_c = \frac{eB}{m c}$

$\rightarrow$  náttúrulegur orkustaki  $\hbar \omega_c$

Eftir svæðið er óendanlegt í  $y$ -átt þá fest einfaldlega (sambandið við einfaldam límbegann sveifil):

$$\psi_{nk}(\vec{x}) = \frac{1}{\sqrt{L_x}} \left(\frac{1}{\pi l^2}\right)^{1/4} \left(\frac{1}{n! 2^n}\right)^{1/2} e^{ikx} e^{-\frac{1}{2l^2}(y-kl^2)^2} H_n\left(\frac{y-kl^2}{l}\right)$$

$\uparrow$   
Hermite  
Heirlida

$$E_{nk} = \hbar \omega_c (n + 1/2)$$

þá má áætla ákoma líta

$$L_x \rightarrow \infty$$

og  $S$ -norma  $x$  hlutann  $y_0 = +kl^2$

$$\rightarrow \psi_{ny_0}(\vec{x}) = \frac{1}{\sqrt{2\pi}} \left(\frac{1}{\pi l^2}\right)^{1/4} \left(\frac{1}{n! 2^n}\right)^{1/2} \exp\left\{i \frac{y_0 x}{l^2} - \frac{1}{2} \left(\frac{y-y_0}{l}\right)^2\right\} H_n\left(\frac{y-y_0}{l}\right)$$

$y_0$ : miðjuhnit (bera saman við klassiska lausu)

Sundurlaus Landau-Stig  $n$   $n = 0, 1, 2, \dots$

Ótan óháð miðjuhnitum  $y_0 \in \mathbb{R}$

Hringkvardi

$$\vec{A} = (-\frac{1}{2} B_y, \frac{1}{2} B_x)$$

$$H = \frac{\hbar^2}{2m} \left\{ (-i\partial_x - \frac{y}{2l^2})^2 + (-i\partial_y + \frac{x}{2l^2})^2 \right\}$$
$$= -\frac{\hbar^2}{2m} \left\{ \nabla^2 + \frac{i}{l^2} \partial_\phi \right\} + \frac{m\omega_c^2}{8} r^2$$

lausnir er

$$\Psi(r) = \left\{ \frac{n_r!}{\pi (|M|+n_r)! (2l^2)^{|M|+1}} \right\}^{1/2} r^{|M|} e^{-\frac{r^2}{4l^2}} L_{n_r}^{|M|} \left( \frac{r^2}{2l^2} \right) e^{iM\phi}$$

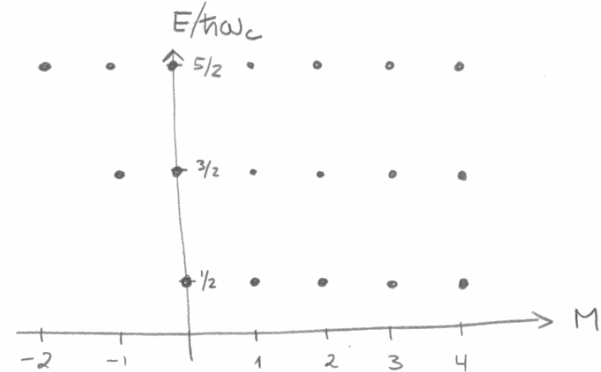
$$E_{nM} = \hbar\omega_c (n + 1/2)$$

p.s.  $n = \frac{|M|-M}{2} + n_r \quad n_r = 0, 1, 2, \dots$

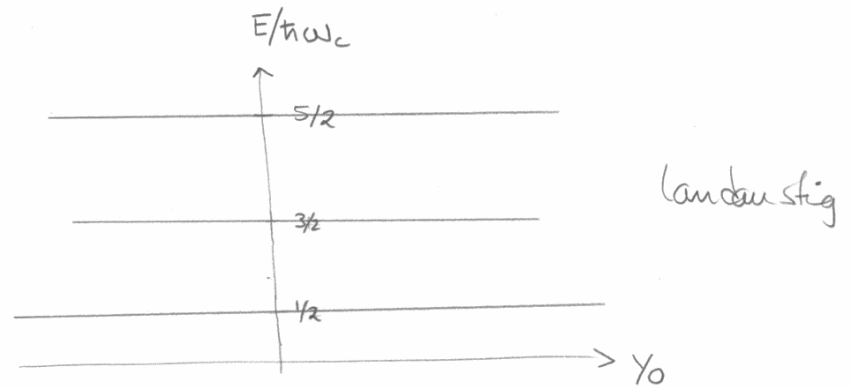
$n$	$M$	$n_r$	möguleg gildi
0	0, 1, 2, ...	0	
1	-1 0, 1, 2, ...	0 1	
2	-2 -1 0, 1, 2, ...	0 1 2	

Orkuróf

hringkvardi



landau kvardi



Hreyfingin í x-y planinu er þá ettí frjálst langur eins og þegar  $B=0$ , heldur en hún núna stömunuð  $\rightarrow$  sundurlaus ortustig

Sögulsviðið veldur  $x^2$  motti



## Setni og ástandsþéttleiki

(6)

hvernig er margfeldni L.s. háttad

Byrjum með endanlegt kerfi

Hversu mörg ástönd eru á flatarséningu

fyrir hvert L.s.  $n_0$

Enk er  $\hbar$  flötud fall af  $k$  og  $k$

$$\frac{1}{L_x L_y} \sum_{\mathbf{k}} 1 = n_0$$

Setja  $L_x L_y \rightarrow \infty$  þá fast:

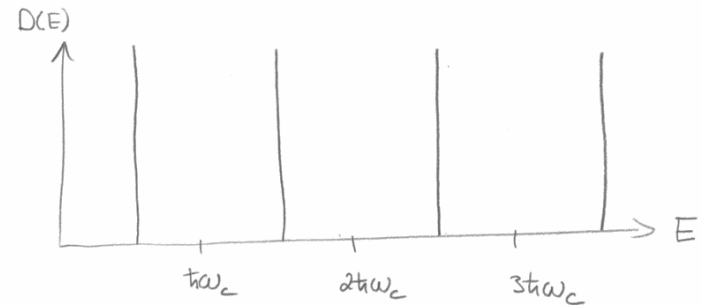
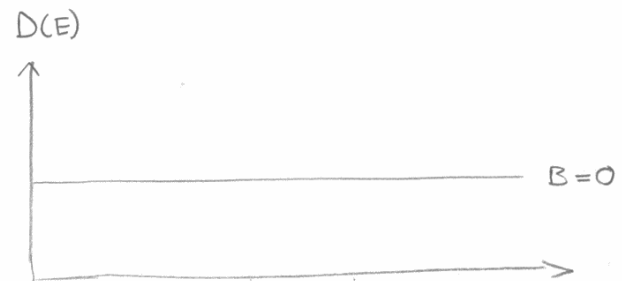
$$n_0 = \frac{1}{L_x L_y} \sum_{\mathbf{k}} \rightarrow \frac{1}{2\pi L_y} \int_{-\infty}^{\infty} dk = \frac{1}{2\pi l^2 L_y} \int dy_0$$

$$\rightarrow n_0 = \frac{1}{2\pi l^2}$$

og ástands þéttleikum

$$D(E) = \frac{1}{2\pi l^2} \sum_n \delta(E_n - E)$$

(7)



þegar  $B \rightarrow 0$  ferst topparnir saman og myndar samfelldu

$$n_s = \int dE D(E) f(E - \mu) \quad \text{rafenda þéttleiki}$$

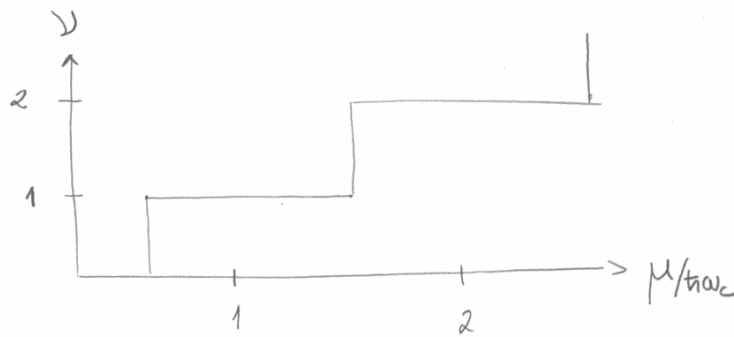
skilgreinum „setni“  $\nu$

$$\nu = \frac{n_s}{n_0} = 2\pi l^2 n_s \quad \nu \in \mathbb{R}$$

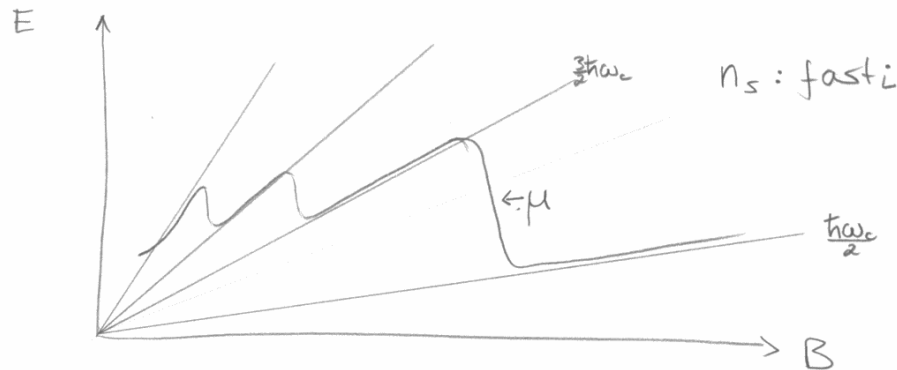
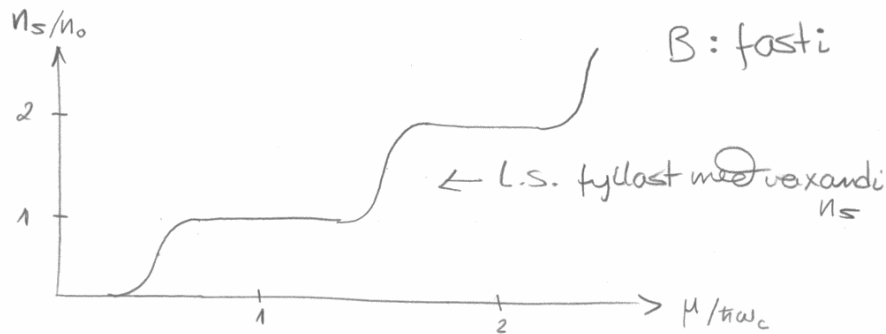
Segir til um hve mörg L.s. eru setin  
eða hvar efna mottid  $\mu$  liggur

$E_f T \rightarrow 0$  p.a.  $f(\epsilon - \mu) \rightarrow \theta(\mu - \epsilon)$

på fast:



$V$  må bryta med  $n_s$  da  $B$



↑ L.S. tomast med vaxandi  $B$

## Rafeinda vixlverktun

i Hartree nálgun

$$H = H_0 + V = \frac{\hbar^2}{2m} (-i\tilde{\nabla} + \frac{e}{c\hbar} \tilde{A}(x))^2 + V(x)$$

$$H_0 \phi_{nM}(r) = E_n \phi_{nM}(r)$$

$$V(r) = -\frac{e}{k} \int d\tilde{r}' \frac{n_s(r') - n_b(r')}{|\tilde{r}' - \tilde{r}|}$$

$$n_s(r) = \sum_{n,M} |\phi_{nM}(r)|^2 f(E_{nM} - \mu)$$



Ölímlegar jöfnur  $V$  er fall af  $\phi$

$\mu$ : t.d. valdið þannig að  $\bar{n}_s = \text{fasti}$

## Ítunnarlösun

velja byrjunar  $\phi \rightarrow V$

leysa síðan

$$\alpha = n, M$$

$$(H_0 + V) \Psi_\alpha = E_\alpha \Psi_\alpha$$

getum notað

$$H_0 \phi_\beta = E_\beta \phi_\beta$$

og fullkomid margi lausna

$$\rightarrow \Psi_\alpha = \sum_\beta C_{\alpha\beta} \phi_\beta$$

reyna:

$$(H_0 + V) \Psi_\alpha = E_\alpha \Psi_\alpha$$

$$\rightarrow \sum_\beta C_{\alpha\beta} \{E_\beta + V - E_\alpha\} \phi_\beta = 0$$

marg falda með  $\phi_{\alpha'}$  og heilda:

$$\sum_\beta \{V_{\alpha'\beta} + \delta_{\alpha'\beta} E_\beta\} C_{\beta\alpha} = E_\alpha C_{\alpha\alpha'}$$

leysa sem eigin gildis jöfnu til að

finna

$C_{\beta\alpha}$  og  $E_\alpha$

$$\rightarrow \boxed{\Psi_\alpha \text{ og } E_\alpha}$$

Til þess að finna  $V(r)$  verður að leysa heildi með sérstöðu punktum

$\left. \begin{array}{l} \text{i 2D ef } n_s \text{ er fasti í sína} \\ \text{knita áttina verður einungis um} \\ \text{heildi yfi } x^n (n | a_n x^n + a_{n-1} x^{n-1} + \dots + a_0 | \\ \text{sem reða má við} \end{array} \right\}$

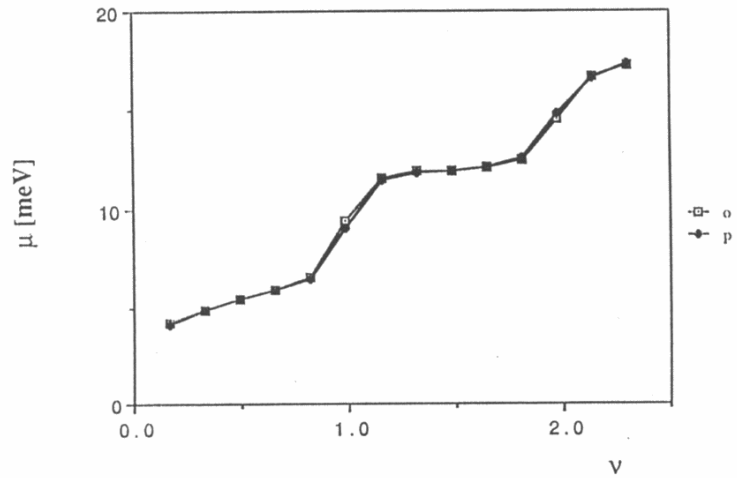
Nú má bota við ytra mætti og athuga skýlingu þess, sem fall af  $\psi$

litum á rafeindir á stífu með jafni batgæms + hleðslu og hugsanlegri sími Coulomb miðju á stífunni

12

Data from "mux"

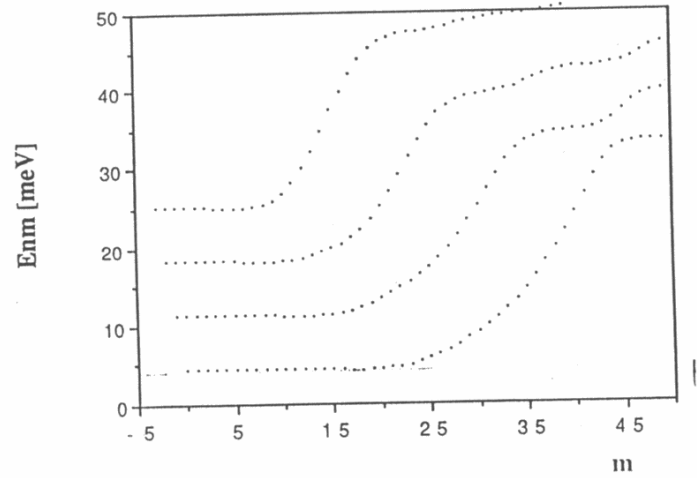
Efnamottid



Orkurálf

13

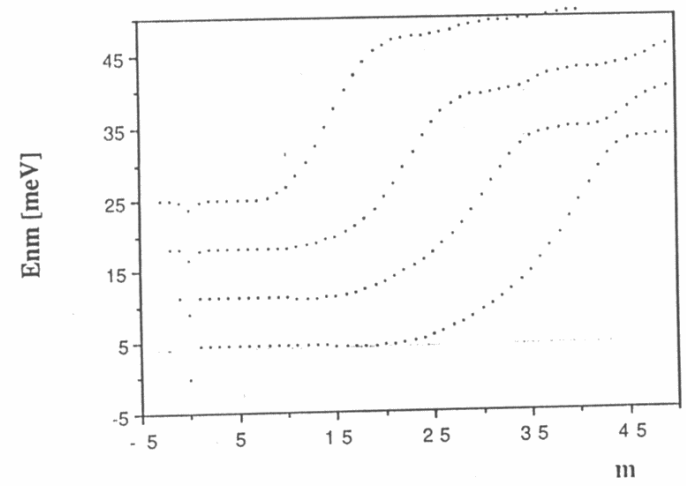
Data from "E.D050"



$T = 0$   
án Coulomb  
míðju

$\nu = 0,16$

Data from "E.D05PN"

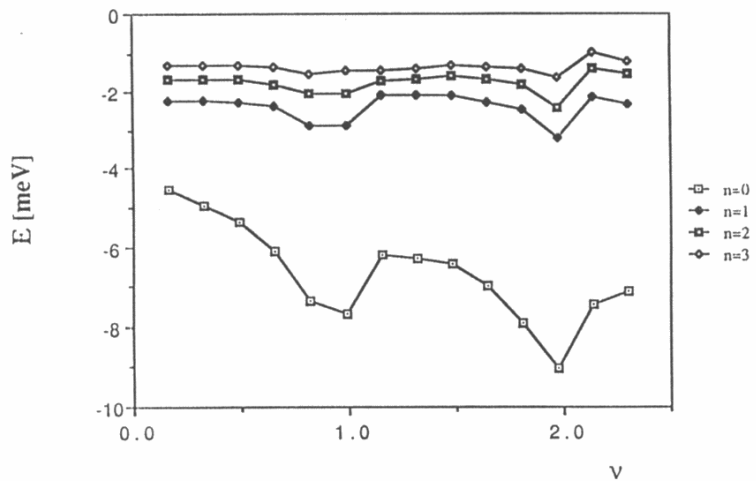


með  
míðju  
 $T = 1$

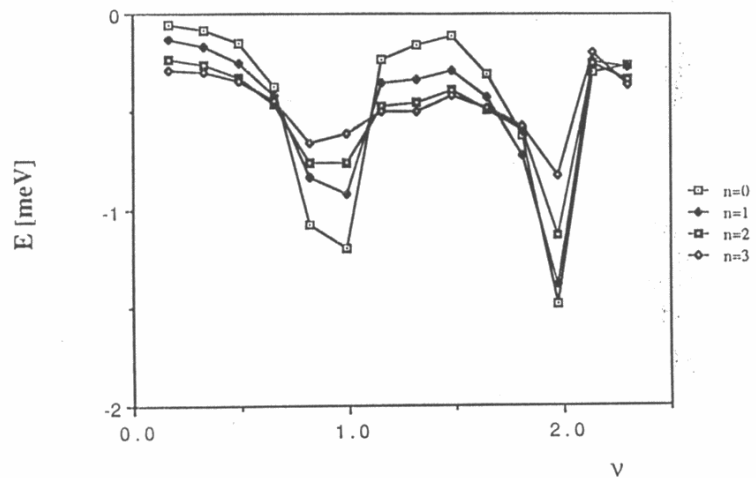
Orkuvátt punkturinn  $m=0$   
 fyrir mismunandi  $v$

(14)

$m=0$



$m=1$

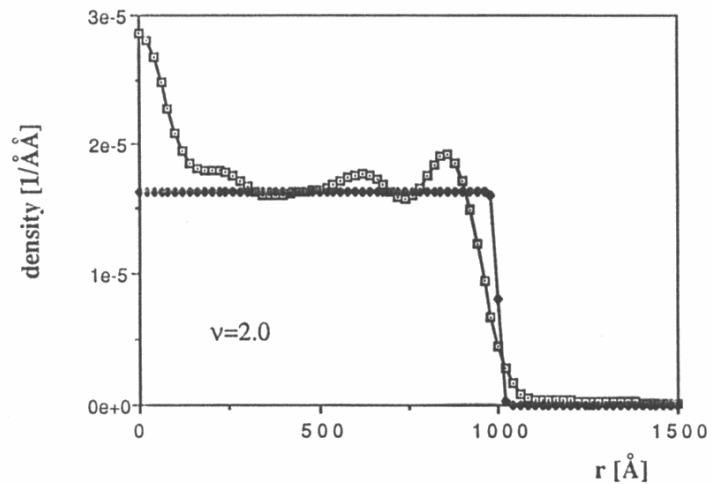


$\nabla = 1$

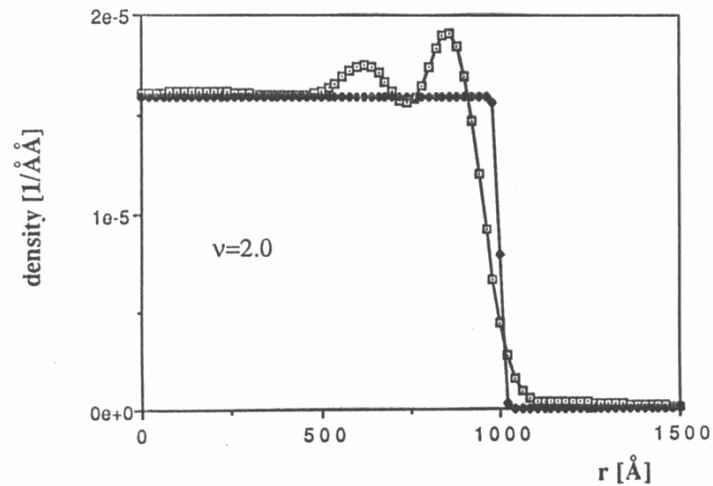
reikna þetta bitinn

(15)

Data from "D.DB20P"

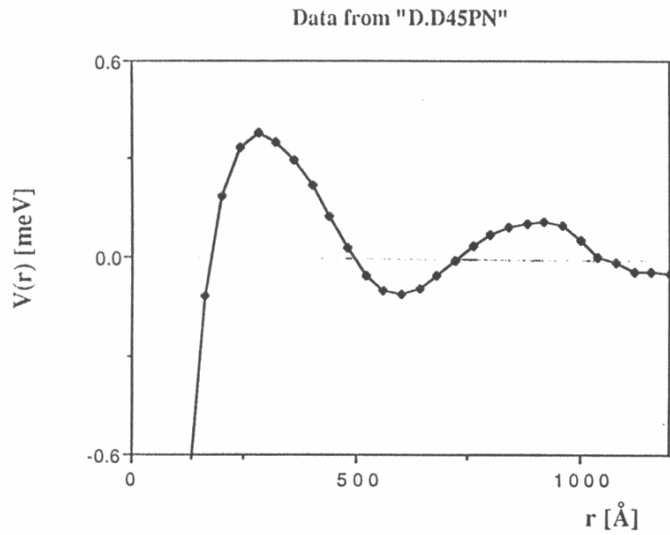


Data from "D.DB200"



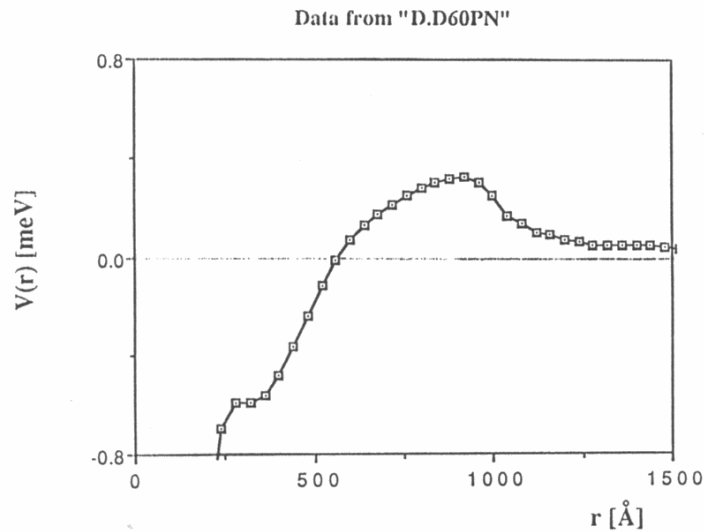
# Skýlda Coulomb mætti

(16)



$$\lambda = 1,48$$

$$\eta = 1$$



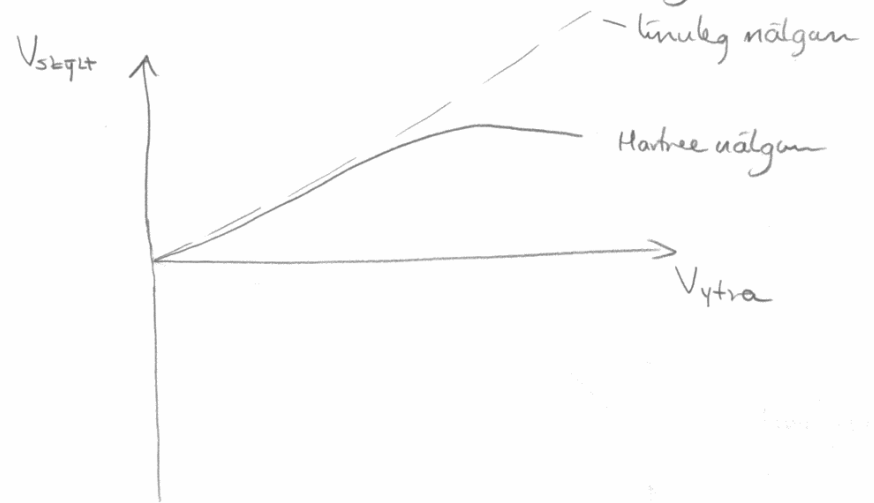
$$\lambda = 1,97$$

# Hversvegna 'límbeg skýling'?

(17)

\* Skýlsmætti getur haft aðra  
 Lotu heldur en ytramætti  
 þ.a.l. aðra samhverfu

\* Styrkleiki skýlds mættis og ytra  
 mættis fylgist ekki límbega að



\* skýling við  $\lambda =$  heiltala, þar sem  
 límbeg skýling hvarfur

# leidni

(1)

rafseinda kerfi getur leitt ef það er sett í ytra rafsvið, athugum þá línulega svörum kerfisins við ytri truflunum:

## Línuleg svörum (linear response)

Kveikja övermið á truflun  $H'(t) = H'_1(t)e^{i\eta t}$ ,  $\eta \rightarrow 0^+$   
 Saman margfa einda svo nota verður ástands virkjanum: (Schrödinger mynd)

$$i\hbar \partial_t \rho = [H_0 + H'_1(t), \rho]$$

↑ tunda áhöf

$$\rho_0 = \exp\{-\beta(H - \mu N)\} / Z$$

↑ spinnmatt

$$Z = \text{Tr} \exp\{-\beta(H - \mu N)\}$$

↑ tala einda

$$\text{Tr} \rho_0 = 1$$

Skilgreina  $S$  og  $T$  þ.a.

$$\rho(t) = S^\dagger(t) \rho_0 S(t)$$

með

$$S(t) = \exp(iH_0 t / \hbar)$$

þ.a.

$$-i\hbar \partial_t S(t) = H S$$

$$\rightarrow i\hbar \partial_t S^\dagger(t) = S^\dagger H$$

þá fast:

$$\begin{aligned} \partial_t \rho &= \partial_t S^\dagger \rho S & S^\dagger S &= 1 \\ &= (\partial_t S^\dagger) \rho S + S^\dagger \partial_t \rho S + S^\dagger (\partial_t \rho) S \\ &= -\frac{i}{\hbar} S^\dagger [H_0, \rho] S + S^\dagger (\partial_t \rho) S \end{aligned}$$

$$\rightarrow \partial_t \rho = -\frac{i}{\hbar} [H_0 + H'_1(t), \rho] = -\frac{i}{\hbar} S^\dagger [H_0, \rho] S + S^\dagger (\partial_t \rho) S$$

margfalda með  $S \dots S^\dagger$  þá fast:

$$-\frac{i}{\hbar} S [H_0 + H'_1(t), \rho] S^\dagger = -\frac{i}{\hbar} [H_0, \rho] + \partial_t \rho$$

↑ =  $S^\dagger \rho S$

$$\rightarrow i\hbar \partial_t \rho = [\hat{H}'_1(t), \rho]$$

þ.s.

$$\hat{H}'_1(t) = S H'_1(t) S^\dagger$$

(2)

$$\rho(t=-\infty) = S(-\infty) \rho(-\infty) S^\dagger(-\infty) = \rho_0$$

því fast til fyrsta stigs í  $\hat{H}'(t)$  (ansvaruá  $\rho(t)$ )

$$\rho(t) = \rho_0 - \frac{i}{\hbar} \int_{-\infty}^t [\hat{H}'(t'), \rho_0] dt'$$

$$\rightarrow \rho(t) = \rho_0 - \frac{i}{\hbar} S^\dagger(t) \int_{-\infty}^t [\hat{H}'(t'), \rho_0] dt'$$

því þrást einhver málstær  $A$  fyi  
heilda kerfið sem:

$$\begin{aligned} \langle M \rangle &= \text{tr} \rho(t) M \\ &= \text{tr} \rho_0 M - \frac{i}{\hbar} \text{tr} \left\{ M S^\dagger(t) \int_{-\infty}^t [\hat{H}'(t'), \rho_0] dt' S(t) \right\} \end{aligned}$$

nota eiginleita tr:

$$\text{tr} \{ ABC \} = \text{tr} \{ CAB \}$$

$$\text{og } [A, B] = AB - BA$$

þá fast:

$$\begin{aligned} \delta \langle M \rangle &= \text{tr} \rho(t) M - \text{tr} \rho_0 M \\ &= \frac{i}{\hbar} \int_{-\infty}^t \text{tr} \left\{ \rho_0 [\hat{H}'(t'), M] \right\} \theta(t-t') dt' \end{aligned}$$

líuleg svörum Jafna Kubos (1957)

ytra rafsvið  $\bar{E}(t)$  veldur leiðni

$$\bar{E}(t) = -\frac{1}{c} \partial_t \bar{A}(t) \quad \text{engar ytri leiðslur Coulomb kvæði}$$

virkverkun straums og yfasviðs:

$$\hat{H}'(t) = \frac{1}{c} \int d\bar{x} \bar{A}(\bar{x}, t) \cdot \mathbf{j}(\bar{x})$$

$$\begin{aligned} \mathbf{j}(\bar{x}, t) &= -\frac{e\hbar}{2mi} \left\{ \psi^\dagger \nabla \psi - (\nabla \psi^\dagger) \psi \right\} - \frac{e^2}{mc} \bar{A} \psi^\dagger \psi \\ &= \mathbf{j}(\bar{x}) - \frac{e^2}{mc} \bar{A} \psi^\dagger \psi \end{aligned}$$



því fast:

(5)

$$X_i Y_i = \sum_{i=1}^M X_i Y_i$$

$$\langle J_k(\vec{x}t) \rangle = -\frac{e^2}{mC} n_s \bar{A}_k(\vec{x}t)$$

$$+ \frac{i}{\hbar c} \int_{-\infty}^{\infty} d\vec{x}' dt' \text{tr} \left[ \rho_0 [j_k(\vec{x}'t'), j_l(\vec{x}t)] \right] A_l(\vec{x}'t') \cdot \theta(t-t')$$

skrifað sem:

$$\langle J_k(\vec{x}t) \rangle = -\frac{e^2}{mC} n_s A_k(\vec{x}t) + \frac{i}{\hbar c} \int_{-\infty}^{\infty} d\vec{x}' dt' D_{kl}^R(\vec{x}t, \vec{x}'t') A_l(\vec{x}'t')$$

fyrir einsleit rafsviðakerfi fast:  $D(x-x')$

$$\langle J_k(\vec{q}\omega) \rangle = \nabla_{kl}(\vec{q}\omega) E_l(\vec{q}\omega)$$

þar sem:

$$\nabla_{kl}(\vec{q}\omega) = \frac{i}{\hbar} \frac{D_{kl}^R(\vec{q}\omega)}{\omega} - \frac{ie^2 n_s}{m\omega}$$

(6)

leiðina er sem sé högt að finna úthra fylgnifalli straumana  $D_{kl}$ , sem reiknað er fyrir straumana áður en kveikt er á ytra rafsviðinu

þegar kveikt er á ytra rafsviðinu, er kerfinu hrint úr jafnvægi yfir í eitthvert stöðugt ójafnvægisástand

Allar upplýsingar um árekska möguleita rafsviðanna við hlöðendi eða veitur var að finna í  $H_0$  og því einnig

$$D_{kl}(\vec{q}\omega)$$

↑  
vandi leiðni reikninga liggur því nú í því að reikna  $D_{kl}(\vec{q}\omega)$

Ef nú leiðnin er reiknuð fyrir 2D kerfi með stærð  $l$  og síðan athugað hvað verður um leiðnina þegar  $l$  stættar sést að leiðnin fylgir ekki lögmáli Ohms þegar kerfið er stættad.

$$\sigma_{d.c.}(L) = \sigma_0 - \frac{e^2}{h\pi^2} \ln\left(\frac{L}{l}\right)$$

Þa sem  $L$  er hin nýja stærð kerfisins þess vegna hattir kerfið að leiða ef það verður nógu stórt! (localization)

Í tveivíðum kerfum er Segulsviðs veldur hvað lítill mottisturflur sem er að öll bylgju föll rofendanna verða staðbundin

$$|\psi(r)| \sim \exp(-|r-r_0|/\xi)$$

↑  
 lengda skali  
 staðbundinna rofenda

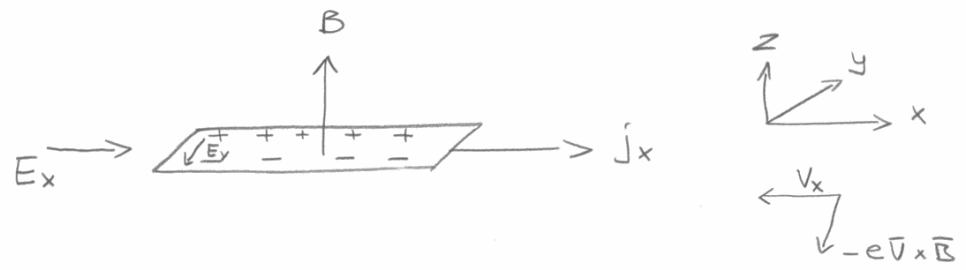
Skala Kennningar Andersons og fleiri

Ef 2D kerfi eru sett í segulsvið gildir fyrir vegt segulsvið að leiðnin eykst með hokkandi segulsviði (weak localization)

↑  
 segulsviðið reglar fasahygni rofendanna sem var nauðsynlegur til að halda þeim staðbundnum

Hvað gerist í sterkum segulsviði?

Athugum fyrst leiðni tensorinn í 2D.  
Klassisku Hall kúfin.



hætti jafna:

$$d_t \bar{p} = -e(\bar{E} + \frac{\bar{p}}{mc} \times \bar{B}) - \frac{\bar{p}(t)}{\tau}$$

↑  
 viðnámslíður



Samantíð við hefti jöfnur á bls. 9  
fest þú

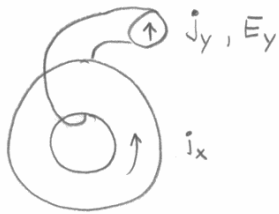
$$\rho_{yx} = \frac{B}{ne c} = \frac{E_y}{j_x}$$

og

$$\rho_{xx} = \frac{1}{\nabla_0} = \frac{E_x}{j_x}$$

þar sem  $E_x, E_y$  og  $j_x$  er hægt að mæla

Ef aftur á móti Hall hlífur væru mæld  
í hringborða (Corbino-sýni)



þar sem aðeins er hægt að mæla  $j_y$  og  $E_y$   
( $E_x = 0$ ) þá fest

$$\frac{j_y}{E_y} = \nabla_{yy}$$

(11)

þannig að í venjulegri Hall mælingu  
á borða mælist  $\rho_{yx}$  og  $\rho_{xx}$

meðan mæling á Corbino borða  
getur  $\nabla_{yy} = \nabla_{xx}$  (einstökt sýni)

Til þess að mæla síðan  $\nabla$  eða  $\rho$  sem  
fall af setni  $\nu$ , má annaðhvort

Halda B föstu beyta  $n_s$  (1)

eða  
Halda  $n_s$  föstu beyta B (2)

þar sem  $\nu = 2\pi l^2 n_s$

Málið er (2) hefur meira verið notað í  
GaAs (húvatar oft hlíf) en

(1) í Si-Mosfetum

(12)

# Skammta Hallhiifin

(13)

(Klaus von Klitzing 1980, nöbelsv. 1985)

Ef hitastiged  $T$  er mjög lægt  $T < 4.2 K$

pá sjást þrep í  $\rho_{xy}$  (bls. 14)

þrepin hafa öll viðnám, sem er einfalt  
 hlutfall af  $25812,8063 \pm 0,0005 \Omega$

þ.e.  $1/2, 1/3, \dots$  af þessari tölu

nákvæmni upp á  $2 \cdot 10^{-8}$

Samtímis flötu köflunum í  $\rho_{xy}$ , hverfur  
 $\rho_{xx}$  (er ekki lengur mælanlegt ef  $T$  er  
 nógu lítið)

Þróð íbötun, eþni .....

(14)

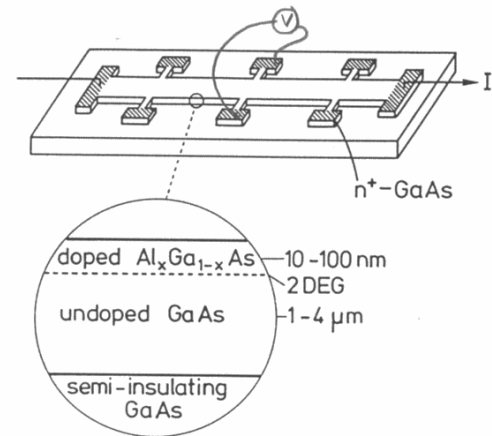


Fig. 3. Typical shape and cross-section of a GaAs-Al<sub>x</sub>Ga<sub>1-x</sub>As heterostructure used for Hall effect measurements.

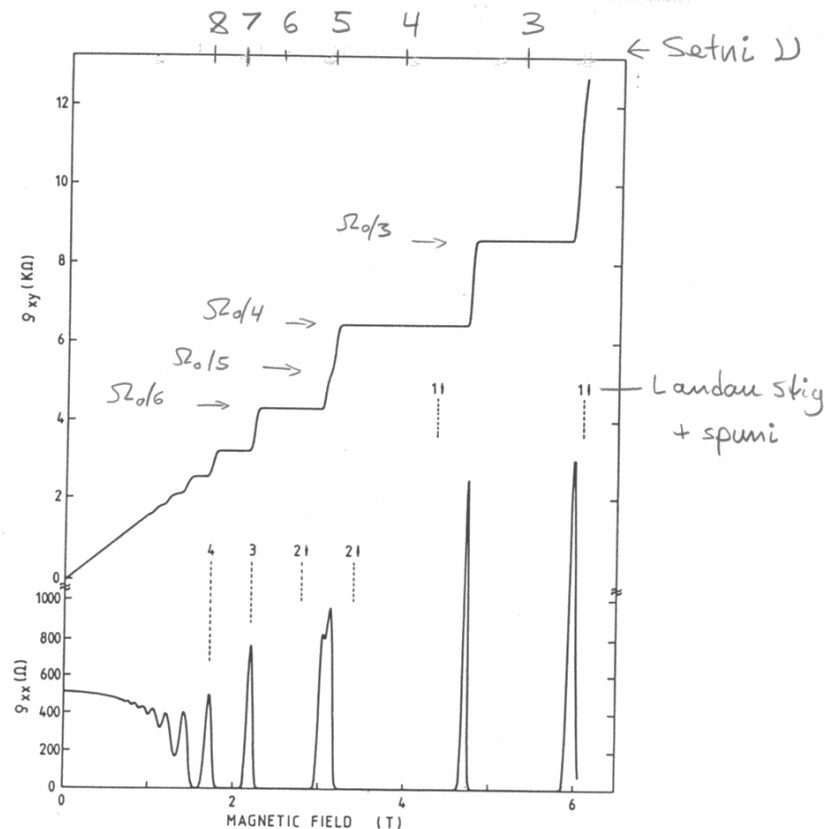


Fig. 14. Experimental curves for the Hall resistance  $R_H = \rho_{xy}$  and the resistivity  $\rho_{xx} = R_x$  of a heterostructure as a function of the magnetic field at a fixed carrier density corresponding to a gate voltage  $V_g = 0V$ . The temperature is about 8mK.

# "Einfölduð skýring"

(15)

Ef klassíska niðurstaðan

$$\rho_{yx} = \frac{B}{n_s e c}$$

gildir líka líka, þá fast vegna  $n_s = \nu n_0$

$$\rho_{yx} = \frac{B}{\nu n_0 e c} = \frac{2\pi l^2 B}{\nu e c}$$

þar sem:

$$\nu = 2\pi l^2 n_s \rightarrow n_0 = \frac{1}{2\pi l^2}$$

Áðan fækkst  $l^2 = \frac{h c}{e B}$  sem leiðir til

$$\rho_{yx} = \frac{h}{\nu e^2}$$

sem auðvitað jafnt sem áður leiðir til  
beinna línu á  $\rho_{yx}$  vs.  $B$  línu  
þar sem  $\nu \sim \frac{1}{B}$

(16)

En athugum gildið  $\frac{h}{e^2}$

$$\begin{aligned} \frac{h}{e^2} &= 2.8721 \cdot 10^{-8} \text{ s/cm} = 2.8721 \cdot 10^{-8} \text{ stat}\Omega \\ &= 25813 \Omega \end{aligned}$$

fastann  $\frac{h}{e^2}$  er sem sé náttúrulega  
viðvamskvarði.

Og  $\rho_{yx} = \nu =$  leitatala fæm við náttúrulega  
skömmtuðu gildin, en aðeins í þessum  
punktum, engin þrep

Í tilraunum sést að  $\rho_{xy}$  tekur aðeins gildið  
 $\frac{h}{Ne^2}$  ef  $\rho_{xx} = 0$ , þegar  $\rho_{xx} = 0$  fæm  
við einnig

$$\nabla_{xy} = \frac{1}{\rho_{yx}} \quad (\text{ef } \rho_{xx} = 0)$$

Jákvæða  $\rho_{yx} = \nabla_{xy}$  sýna einnig að

$$\text{ef } \rho_{xx} = 0 \implies \nabla_{xx} = 0$$

Því er spurningin getum við útstígt  
 hvers vegna  $\nabla_{xx} = 0$  fyrir svo stórt B-bil  
 þá væri  $\nabla_{xy} = \frac{Ne^2}{h}$  á sama bili

Hallhrifin benda því til þess að eftirfarandi  
 mynd gældi

breitkudlandau stig vegna óhrömuðna  
 ↓

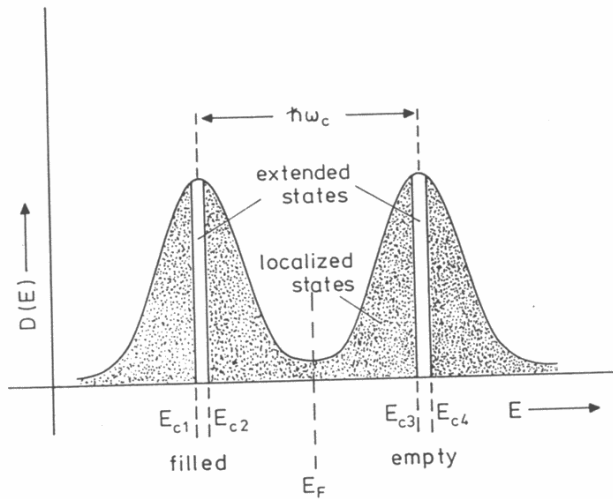


Fig. 6. Model for the broadened density of states of a 2 DEG in a strong magnetic field. Mobility edges close to the center of the Landau levels separate extended states from localized states.

Þessins ástöndin í miðju landau stigi  
 eru heytanleg, hin eru öll staðbandin

$$\nabla_{xx}(\omega=0) \sim \frac{e^2}{\pi^2 \hbar} \int dE \left(-\frac{\partial f}{\partial E}\right) \mathcal{F}[D(E)]$$

$\nabla_{xx}$  er því einungis háð ástöndunum  
 við efnamethid (Fermiorkuna)  $\mu$ .  
 Þegar það er stalt í staðbandinu  
 ástöndunum verður leiðnin engin

$$\longrightarrow \nabla_{xy} = \frac{Ne^2}{h}$$

Þegar  $\mu$  er stalt á miðal staðbandinna  
 ástanda.

Við sjáum því að heytanleg ástönd geta  
 einungis verið í miðju L.S., samtveint  
 tilraunum

Vantar Kennilega útreikninga á því  
 hvaða ástönd eru staðbandin í  
 sterkum segulsviði!

## athugasemdir um stammta Hall hrifin

(19)

\* Því er ekki bæist við hrifunum í heiminum kerfum, það þarf veður og óheimindi til þess að gera rafveindirnar staðbundnar

\* Stammta Hall hrifin eru ekki jafnvægis-hrif. Sjátt hefur verið að engin keildar straumur flýtur í gegnum Hall bónda nema kerfinu sé ýtt úr jafnvægi með ytra rafmætti sem kveikt er á!  
(jafnvægis hringstraumar eru alltaf jafn hendi)

\* Stytingar hefjulegar rafveinda kerfisins í öjafnvægi eru stöðuga ástandi snarversna, þeir sveiflast ekki lengur með setnum 2

Þar með er erfitt að ímynda sér að hin góða jafnvægisstyting sem er þegar þú ert í miðju l.s. orsaki það að rafveindirnar verði hestfanlegar

(20)

\* Líkani af Hallhrifunum þarf að meðhöndla „jafnarástand“ og „unnir ástand“ Hall bónda á sama hátt

## Margar leiðir í lítana smidum hefa verið reyndar

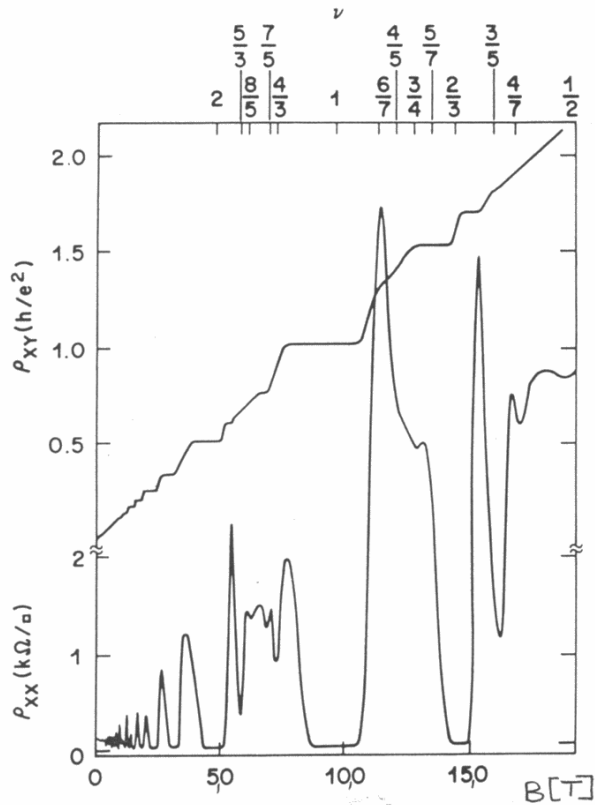
- \* Kvarða samhverfur
- \* Grannfræðilegar röksemdir
- \* Skólan — staðbundin ástand
- \* heftbundin leiðni líkón í segulsviði
- \* Einföld jafnvægis líkón
- \* ...

en ekkert fullnægir öll skilyrði sem gera þarf til lítana



þrep í  $\rho_{xy}$  og lögðir í  $\rho_{xx}$  fundust 1983  
(D.C. Tsui)

$$\nu = \frac{p}{q} \frac{e^2}{h} \quad q: \text{oddatala}$$



fyrst fundust  
Brot hrif fyrir  
 $\nu < 1$

$\frac{1}{3}, \frac{2}{3}, \dots$

Finna aðeins í  
mjög heimum  
2D kerfum, aukstætt  
við heiltölur hrifin

Voru að leita að krístillum rafleidda  
við hátt segulsvið (Wigner krístillum)

fyrir  $\nu < 1$  er aðeins eitt spunaástand  
setið (lögsta spuna ástandið)

Coulomb vöxlverkun í fjöleinda kerfi  
er oft nælgud í eftirfarandi þrepum

1. Bein vöxlverkun Hartree nælgun
2. Skipta kraftur tekinn með Hartree Fock
3.  $-\infty$  fylgni hrif henni nælgunir

Taldir að síðasti liðurinn valdi því  
(þegar  $\nu < 1$ ) að rafleiddirnar myndi  
öppanlegum skammta vökva.  
Í honum eru fermiagnarígdí með  
brot rafhleðslu sem örvast við  
skilyrðið  $\nu = \frac{p}{q}$  þ.a. orkugeilar  
myndast í ástands þéttleikum við  
þessi gildi

↑ margar kenningar, engin fullreynd!

1985 - 1987

hafa síðan fundist brottökukerfi  
við  $\mathbb{D} = \mathbb{S}/2 \dots (3 > \mathbb{D} > 2)$

fyrsti jafni neymarinn

agnarigildið geti verið spuna einstigi

p.e. summar rafeindir snúa spuna sínum  
við og geta myndað ortulagt spuna einstigi  
með rafeindum með réttum spuna

hverja þegar  $\mathbb{B}$  er haldad

þá er spuna ortan stærri en landau ortan

Landau ortan  $\sim \mathbb{B} \perp$

spuna ortan  $\sim \mathbb{B}$

fjöldmörg önnur kerfi og kerfi

Margskonar flötin fjöldsteyti  
Ofurgründur — hornrættar  
sogtentar

skammta brunmar

1 viðkerfi  $\Rightarrow 2D \leftrightarrow 1D$

Ljoseiginleitar hringhæðalsherna

Smugleiginleitar

Kristöllum rafeinda

2D ofurleiddni ?

Smávar og leysar

Veitur í 2D kerfum

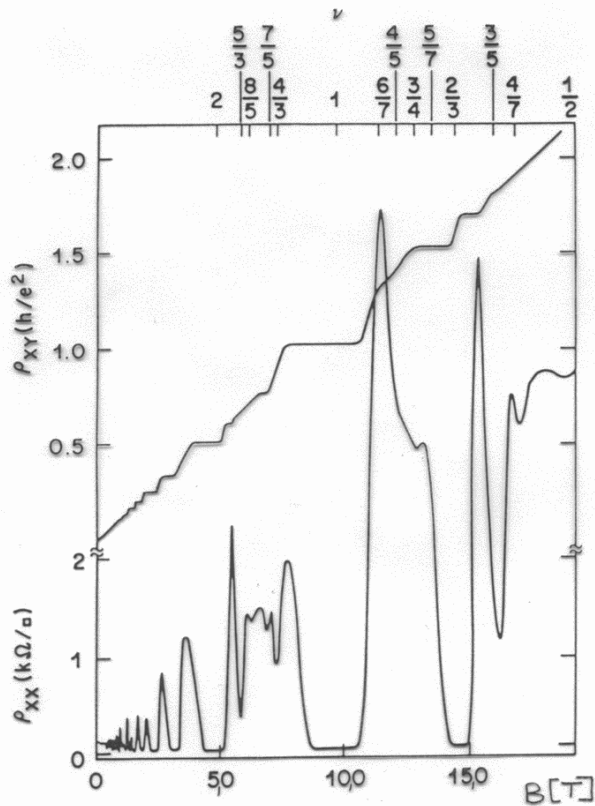
- 
- 
-

# Brotólú skammta Hall hrifin

(21)

þrep í  $\rho_{xy}$  og lægðir í  $\rho_{xx}$  fundust 1983  
(D.C. Tsui)

$$\nu = \frac{p}{q} \frac{e^2}{h} \quad q: \text{oddatala}$$



fyrst fundust  
Brot hrif fyrir

$$\nu < 1$$

$$\frac{1}{3}, \frac{2}{3}$$

finnst aðeins í  
mjög hreinum  
2D kerfum, andstätt  
við heitólukhrifin

Voru að vita að kristöllum rafhlöndu  
við hátt segul svið (Wigner kristöllum)

því er spurningin getum við útstíjnt  
hversvegna  $\nabla_{xx} = 0$  fyrir svo stórt B-bil  
þá væri  $\nabla_{xy} = \frac{Ne^2}{h}$  á sama bili

(17)

Hallhrifin benda því til þess að eftirfarandi  
mynd gildi

breið þ landau stig vegna þröskulda

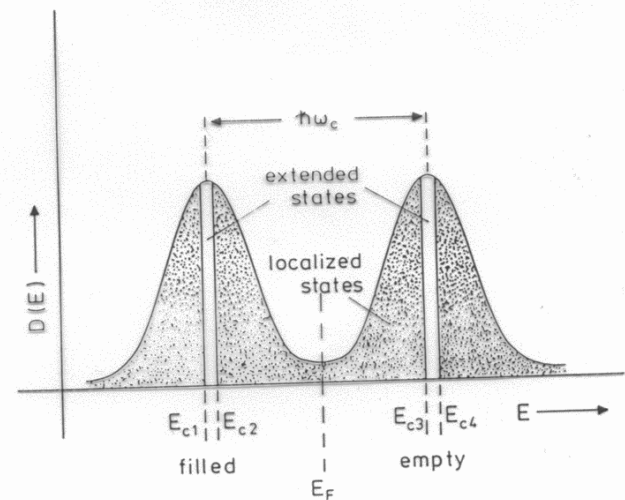


Fig. 6. Model for the broadened density of states of a 2 DEG in a strong magnetic field. Mobility edges close to the center of the Landau levels separate extended states from localized states.

Aðeins ástöndin í miðju landau stigi  
er heyrjanleg, hin eru öll staðbundin

$$\nabla_{xx}(\omega=0) \sim \frac{e^2}{\pi^2 h} \int dE \left( -\frac{\partial f}{\partial E} \right) \mathcal{F}[D(E)]$$

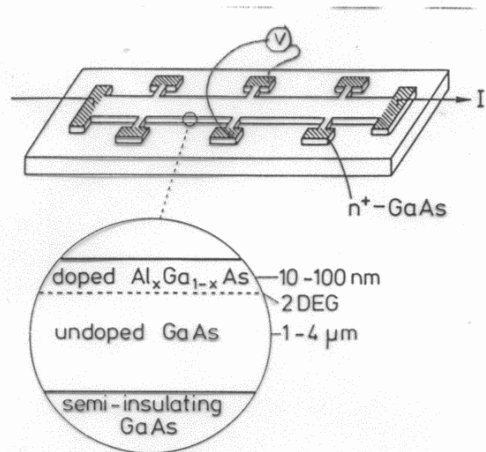


Fig. 3. Typical shape and cross-section of a GaAs-Al<sub>x</sub>Ga<sub>1-x</sub>As heterostructure used for Hall effect measurements.

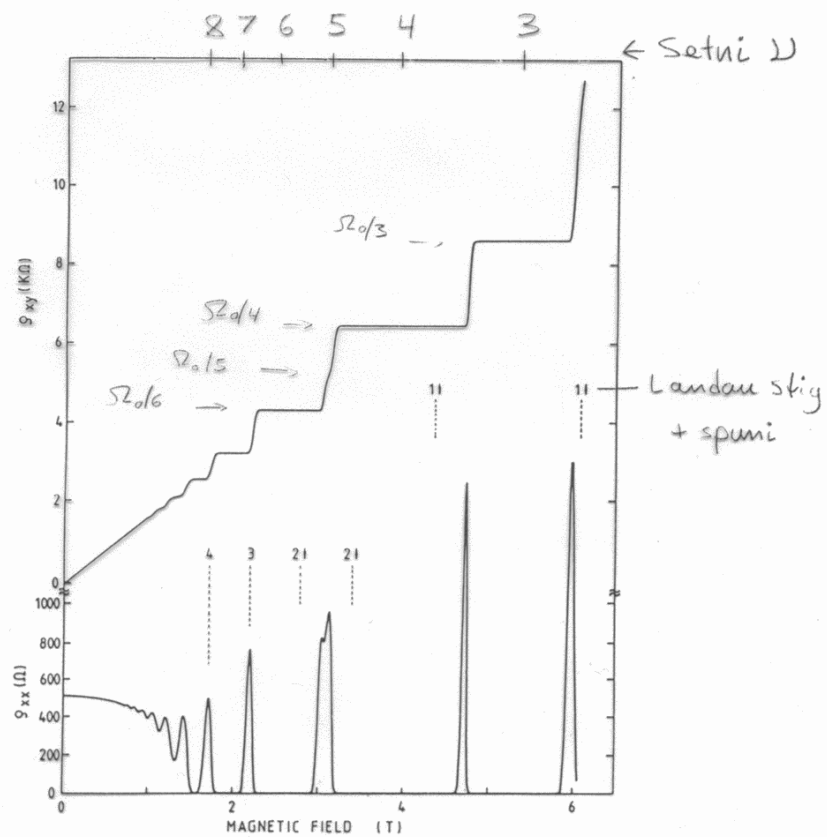


Fig. 4. Experimental curves for the Hall resistance  $R_H = \rho_{xy}$  and the resistivity  $\rho_{xx} = R_x$  of a heterostructure as a function of the magnetic field at a fixed carrier density corresponding to a gate voltage  $V_g = 0V$ . The temperature is about 8mK.